

МОДЕЛИРОВАНИЕ ДИНАМИКИ ПОЛЕТА КВАДРОКОПТЕРА

Н.И. Попов, О.В. Емельянова, С.Ф. Яцун

В работе рассмотрены вопросы математического моделирования движения квадрокоптера, приведена его расчетная схема и составлены дифференциальные уравнения на основе общих теорем динамики.

Ключевые слова: квадрокоптер, углы Эйлера-Крылова, матрица поворота.

Введение. Квадрокоптер – это летательный аппарат с четырьмя несущими винтами, вращающимися диагонально в противоположных направлениях. Он обладает рядом преимуществ, таких как: беспилотное управление, надежность, компактность, маневренность, малая взлетная масса при существенной массе полезной нагрузки. Благодаря простоте конструкции квадрокоптеры часто используются в любительском моделировании, удобны для недорогой аэрофото- и киносъемки — громоздкая камера вынесена из зоны действия винтов.

Первое миниатюрное радиоуправляемое судно было предложено 1898 году Николой Тесла. Вдохновленной этой идеей, в 1910 г. американский военный инженер из Огайо Чарльз Кеттеринг предложил модель летательного аппарата без человека.

В СССР в 1930-1940 гг. авиаконструктором Никитиным разрабатывался торпедоносец-планер специального назначения (ПСН-1 и ПСН-2) типа «летающее крыло» в двух вариантах: пилотируемый тренировочно-пристрелочный и беспилотный с полной автоматикой. К началу 1940 г. был представлен проект беспилотной летающей торпеды с дальностью полета от 100 км и выше (при скорости полета 700 км/ч).

Попов Н.И. кандидат тех. наук, Воронежский институт ГПС МЧС России, Россия, г. Воронеж.

Емельянова О.В., кандидат тех. наук, ЮЗГУ, Россия, г. Курск; teormeh@inbox.ru.

Яцун С.Ф., доктор тех. наук, ЮЗГУ, Россия, г. Курск, teormeh@inbox.ru

В 1944 году военными США в был применён впервые в мире классический ударный БПЛА — Interstate TDR. Однако дальше прототипов дело не продвинулось.

Новое рождение мультикоптеры получили в XXI веке. Современные мультикоптеры используют бесколлекторные электродвигатели и литий-полимерные аккумуляторы в качестве источника энергии. Это накладывает определенные ограничения на их полетные характеристики: типичный вес мультикоптера и время полета.

Для изучения основных закономерностей движения квадрокоптера рассмотрим математическую модель, описывающую пространственное движение летающего робота. Квадрокоптер – это электромеханическая система, корпус которой можно моделировать твердым телом с 6-ю степенями свободы [3].

Математическая модель квадрокоптера. Различные виды движения квадрокоптера было подробно описаны в [1, 3-7]. Пусть положение центра масс квадрокоптера C совпадает с началом подвижной системы координат $CX_1Y_1Z_1$, а в неподвижной декартовой системе координат описывается координатами X, Y, Z (рис.1).

Ориентацию в пространстве задают углы Эйлера-Крылова, которые обычно применяются в авиационной технике при описании движения аппарата и составляют так называемые углы: крена, тангажа и рысканья. Они соответствуют следующей последовательности поворотов:

1. Поворот на угол ψ относительно вертикальной оси OZ ($R z, \psi$) — рыскание.

2. Поворот на угол θ относительно главной поперечной оси инерции OY ($R_{y,\theta}$) — тангаж.

3. Поворот на угол φ вокруг продольной оси OX ($R_{x,\varphi}$) — крен.

При полёте квадрокоптера на него действуют аэродинамические силы несущих винтов $\vec{F}_1, \vec{F}_2, \vec{F}_3, \vec{F}_4$, приложенные к их центрам масс роторов A_1, A_2, A_3, A_4 соответственно, и силы тяжести корпуса m_{CG} и винтов $m_i g$ (рис. 1) [1-3], причем силы \vec{F}_i параллельны оси CZ_i .

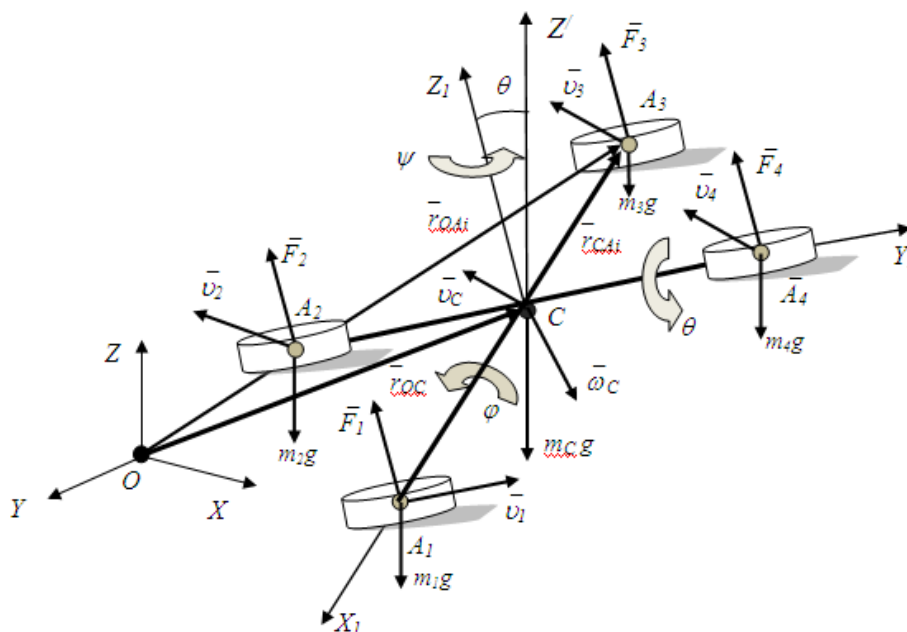


Рис. 1. Расчетная схема квадрокоптера

Положение центра масс квадрокоптера определяют координаты вектора $r_{OC}=[X,Y,Z]^T$. Условимся в дальнейшем системы координат $OXYZ$ и $CX_1Y_1Z_1$ понимать под символами $^{(0)}$ и $^{(1)}$ соответственно. Тогда векторы сил:

$$F_i^{(0)} = T_{10} \cdot F_i^{(1)} \quad (1)$$

где T_{10} - матрица перехода из $^{(1)}$ в $^{(0)}$ систему координат.

Результирующая матрица перехода получается путем перемножения трёх основных матриц вращения и имеет следующий вид:

$$T_{10} = (\psi, \theta, \varphi) = R(z, \psi) \times R(y, \theta) \times R(x, \varphi) = \begin{bmatrix} \cos\psi \cos\theta & \cos\psi \sin\theta \sin\varphi - \cos\psi \sin\psi & \sin\psi \sin\theta + \cos\psi \cos\theta \sin\varphi \\ \sin\psi \cos\theta & \cos\psi \cos\theta \sin\varphi + \sin\psi \sin\theta & \cos\psi \sin\theta - \cos\psi \sin\varphi \\ -\sin\theta & \cos\theta \sin\varphi & \cos\theta \cos\varphi \end{bmatrix} \quad (2)$$

Запишем очевидное равенство:

$$r_{OA_i}^{(0)} = \bar{r}_{OC}^{(0)} + \bar{r}_{CA_i}^{(0)} \quad (3)$$

где

$$\bar{r}_{CA_i}^{(0)} = T_{10} \cdot \bar{r}_{CA_i}^{(1)} \quad (4)$$

Векторы $\bar{r}_{CA_i}^{(1)}$ для точек A_i имеют вид:

$$\bar{r}_{CA1}^{(1)} = \begin{bmatrix} l \\ 0 \\ 0 \end{bmatrix}, \quad \bar{r}_{CA2}^{(1)} = \begin{bmatrix} 0 \\ -l \\ 0 \end{bmatrix}, \quad \bar{r}_{CA3}^{(1)} = \begin{bmatrix} -l \\ 0 \\ 0 \end{bmatrix}, \quad \bar{r}_{CA4}^{(1)} = \begin{bmatrix} 0 \\ l \\ 0 \end{bmatrix} \quad (5)$$

где l – расстояние от центра масс квадрокоптера C до центра масс роторов A_i .

Скорости точек A_i определим, продифференцировав равенство (3) по времени:

$$\bar{v}_{A_i} = \frac{\bar{r}_{OA_i}^{(0)}}{dt} = \frac{\bar{r}_{OC}^{(0)}}{dt} + \frac{\bar{r}_{CA_i}^{(0)}}{dt} \quad (6)$$

С учетом равенства (4) получим:

$$\bar{v}_{A_i} = \bar{v}_C + \dot{T}_{10} \cdot \bar{r}_{CA_i}^{(1)} \quad (7)$$

где $\bar{v}_C = \bar{i}\dot{X} + \bar{j}\dot{Y} + \bar{k}\dot{Z}$ – скорость центра масс квадрокоптера.

Количество движения i -ой массы определим по формуле:

$$\bar{q}_i = m_i \bar{v}_{A_i} = m_i (\bar{v}_C + \dot{T}_{10} \cdot \bar{r}_{CA_i}^{(1)}) \quad (8)$$

Изменение количества движения определим из выражения:

$$\frac{d\bar{q}_i}{dt} = m_i \left(\frac{d\bar{v}_C}{dt} + \ddot{T}_{10} \cdot \bar{r}_{CA_i}^{(1)} \right) = T_{10} \bar{F}_i^{(1)} \quad (9)$$

Вектор количества движения рассматриваемой системы, состоящей из корпуса и 4 винтов, определим по формуле:

$$\bar{Q} = m_C \bar{v}_C + \sum_{i=1}^4 m_{A_i} \bar{v}_{A_i} \quad (10)$$

Теорема об изменении количества движения механической системы в дифференциальной форме имеет вид:

$$\frac{d\bar{Q}}{dt} = m_C \frac{d\bar{v}_C}{dt} + \sum m_i \left(\frac{d\bar{v}_C}{dt} + \ddot{T}_{10} \cdot \bar{r}_{CA_i}^{(1)} \right) = (m_C + \sum m_i) \frac{d\bar{v}_C}{dt} + \ddot{T}_{10} \sum m_i \bar{r}_{CA_i}^{(1)} = T_{10} \sum \bar{F}_i^{(1)} \quad (11)$$

В проекциях на координатные оси уравнение (11) примет вид:

$$\begin{cases} (m_C + \sum m_i) \frac{d\bar{v}_C^X}{dt} = \sum F_{ix}^{(0)} \\ (m_C + \sum m_i) \frac{d\bar{v}_C^Y}{dt} = \sum F_{iy}^{(0)} \\ (m_C + \sum m_i) \frac{d\bar{v}_C^Z}{dt} = \sum F_{iz}^{(0)} \end{cases} \quad (12)$$

Здесь:

$$\sum \bar{F}_i^{(0)} = T_{10} \sum \bar{F}_i^{(1)} = |T_{10}| \begin{vmatrix} \sum F_{ix}^{(1)} \\ \sum F_{iy}^{(1)} \\ \sum F_{iz}^{(1)} \end{vmatrix} = \begin{vmatrix} (\sin \psi \sin \varphi + \cos \psi \cos \varphi \sin \theta) \cdot \sum F_i \\ (\cos \varphi \sin \psi \sin \theta - \cos \psi \sin) \cdot \sum F_i \\ \cos \varphi \cos \theta \cdot \sum F_i \end{vmatrix} \quad (13)$$

где

$$\bar{F}_1^{(1)} = \begin{vmatrix} 0 \\ 0 \\ F_1 \end{vmatrix}, \quad \bar{F}_2^{(1)} = \begin{vmatrix} 0 \\ 0 \\ F_2 \end{vmatrix}, \quad \bar{F}_3^{(1)} = \begin{vmatrix} 0 \\ 0 \\ F_3 \end{vmatrix}, \quad \bar{F}_4^{(1)} = \begin{vmatrix} 0 \\ 0 \\ F_4 \end{vmatrix} \quad (14)$$

$$\sum \bar{F}_i^{(1)} = \begin{vmatrix} 0 \\ 0 \\ F_1 + F_2 + F_3 + F_4 \end{vmatrix} = \begin{vmatrix} 0 \\ 0 \\ \sum_{i=1}^4 F_i \end{vmatrix}$$

Тогда уравнение (13) с учетом (14) будет иметь вид:

$$\begin{cases} (m_C + \sum m_i) \frac{d\bar{v}_C^X}{dt} = (\sin \psi \sin \varphi + \cos \psi \cos \varphi \sin \theta) \cdot \sum F_i \\ (m_C + \sum m_i) \frac{d\bar{v}_C^Y}{dt} = (\cos \varphi \sin \psi \sin \theta - \cos \psi \sin) \cdot \sum F_i \\ (m_C + \sum m_i) \frac{d\bar{v}_C^Z}{dt} = \cos \varphi \cos \theta \cdot \sum F_i \end{cases} \quad (15)$$

или

$$\begin{cases} m\ddot{X} = (\sin \psi \sin \varphi + \cos \psi \cos \varphi \sin \theta) \cdot \sum F_i \\ m\ddot{Y} = (\cos \varphi \sin \psi \sin \theta - \cos \psi \sin) \cdot \sum F_i \\ m\ddot{Z} = \cos \varphi \cos \theta \cdot \sum F_i \end{cases} \quad (16)$$

Представленная система дифференциальных уравнений описывает изменение обобщенных координат квадрокоптера X, Y, Z .

Рассмотрим угловые скорости вращения роторов квадрокоптера в локальной системе координат $CX_1Y_1Z_1$ (рис.2, 3). Для этого введем систему координат $A_i x_i y_i z_i$, которая совпадает с центром масс m_i роторов.

$$\bar{\Omega}_i = \bar{\omega}_i + \bar{\omega}_C, \quad i = 1..4; \quad (17)$$

$$\bar{\omega}_i = \bar{i}_i \omega_{ix} + \bar{j}_i \omega_{iy} + \bar{k}_i \omega_{iz}; \quad (18)$$

$$\bar{\omega}_C = \bar{i}_1 \omega_{CX1} + \bar{j}_1 \omega_{CY1} + \bar{k}_1 \omega_{CZ1}$$

где i_b, j_b, k_b и i_i, j_i, k_i - единичные векторы системы координат $CX_1Y_1Z_1$ и $A_i x_i y_i z_i$, $\bar{\Omega}_i$ - абсолютная угловая скорость вращения i -ого ротора в системе координат $CX_1Y_1Z_1$; $\bar{\omega}_C, \bar{\omega}_i$ - векторы угловых скоростей вращения корпуса и i -ого ротора в системе координат $CX_1Y_1Z_1$ и $A_i x_i y_i z_i$ определяются в виде:

$$\bar{\omega}_C = \begin{vmatrix} \omega_{X1} \\ \omega_{Y1} \\ \omega_{Z1} \end{vmatrix}, \quad \bar{\omega}_i = \begin{vmatrix} 0 \\ 0 \\ \omega_i \end{vmatrix}, \quad \bar{\Omega}_i = \begin{vmatrix} \omega_{x1} \\ \omega_{y1} \\ \omega_i + \omega_{Z1} \end{vmatrix} \quad (19)$$

или

$$\bar{\Omega}_i = \bar{i}_1 \Omega_x + \bar{j}_1 \Omega_y + \bar{k}_1 \Omega_z \quad (20)$$

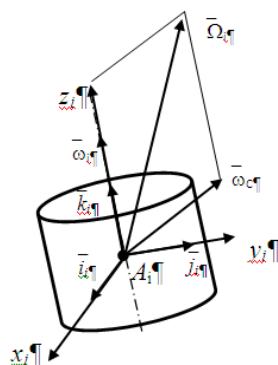


Рис.2. Схема для определения угловой скорости ротора при сложном движении

Определим момент количества движения ротора в системе координат $A_i x_i y_i z_i$

$$\bar{L}_{iA_i} = \int_{m_i} (\bar{r}_i \times \bar{v}) dm_i \quad \text{или} \quad \bar{L}_{iA_i} = I_{Ai} \bar{\Omega}_i \quad (21)$$

где $I_{iA_i} = \begin{vmatrix} J_{Ai}^x & 0 & 0 \\ 0 & J_{Ai}^y & 0 \\ 0 & 0 & J_{Ai}^z \end{vmatrix}$ - тензор инерции ротора. Тогда кинетический момент равен:

$$\bar{L}_{iA_i} = \begin{vmatrix} J_{A_i}^x & 0 & 0 \\ 0 & J_{A_i}^y & 0 \\ 0 & 0 & J_{A_i}^z \end{vmatrix} \begin{vmatrix} \omega_{X_1} \\ \omega_{Y_1} \\ \omega_i + \omega_{Z_1} \end{vmatrix} = \begin{vmatrix} J_{A_i}^x \omega_{X_1} \\ J_{A_i}^y \omega_{Y_1} \\ J_{A_i}^z (\omega_i + \omega_{Z_1}) \end{vmatrix} \quad (22)$$

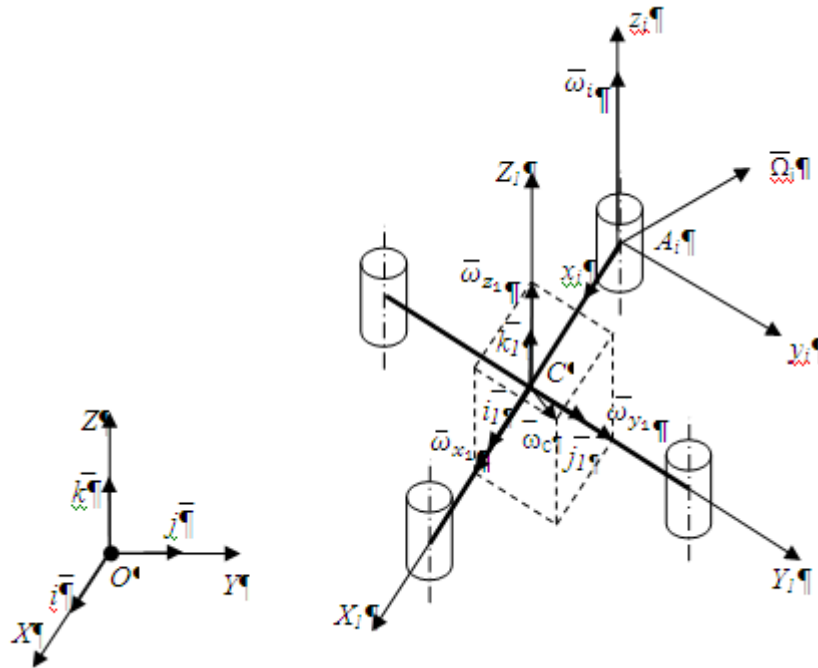


Рис. 3. Расчетная схема определения кинетического момента квадрокоптера

Определим момент количества движения в системы:

$$\bar{L} = \bar{L}_C + \sum \bar{L}_i \quad (23)$$

где $\bar{L}_C = I_C \bar{\omega}_C$ - кинетический момент относительно центра масс квадрокоптера;

$\bar{L}_i = I_i \bar{\Omega}_i = (I_{A_i} + m_i l^2) \bar{\Omega}_i$ - кинетический момент i -го ротора относительно центра масс квадрокоптера в системе координат $CX_1Y_1Z_1$ (в соответствии с теоремой Гюйгенса).

Тензоры инерции корпуса I_C и i -го ротора I_i с учетом того, что главные оси инерции механической системы являются главными центральными осями инерции (все центробежные моменты инерции равны нулю) равны:

$$I_C = \begin{vmatrix} J_C^{X_1} & 0 & 0 \\ 0 & J_C^{Y_1} & 0 \\ 0 & 0 & J_C^{Z_1} \end{vmatrix}; \quad I_i = \begin{vmatrix} J_{A_i}^x + m_i l^2 & 0 & 0 \\ 0 & J_{A_i}^y + m_i l^2 & 0 \\ 0 & 0 & J_{A_i}^z + m_i l^2 \end{vmatrix} \quad (24)$$

Тогда:

$$\bar{L}_C = \begin{vmatrix} J_C^{X_1} & 0 & 0 \\ 0 & J_C^{Y_1} & 0 \\ 0 & 0 & J_C^{Z_1} \end{vmatrix} \begin{vmatrix} \omega_{X_1} \\ \omega_{Y_1} \\ \omega_{Z_1} \end{vmatrix} = \begin{vmatrix} J_C^{X_1} \omega_{X_1} \\ J_C^{Y_1} \omega_{Y_1} \\ J_C^{Z_1} \omega_{Z_1} \end{vmatrix} \quad (25)$$

$$\bar{L}_i = \begin{vmatrix} J_{A_i}^x + m_i l^2 & 0 & 0 \\ 0 & J_{A_i}^y + m_i l^2 & 0 \\ 0 & 0 & J_{A_i}^z + m_i l^2 \end{vmatrix} \begin{vmatrix} \omega_{X_1} \\ \omega_{Y_1} \\ \omega_i + \omega_{Z_1} \end{vmatrix} = \begin{vmatrix} (J_{A_i}^x + m_i l^2) \omega_{X_1} \\ (J_{A_i}^y + m_i l^2) \omega_{Y_1} \\ (J_{A_i}^z + m_i l^2) (\omega_i + \omega_{Z_1}) \end{vmatrix} \quad (26)$$

С учетом (25), (26) выражение (23) будет иметь вид:

$$L = \begin{vmatrix} (J_C^{X_1} + \sum J_{A_i}^x + \sum m_i l^2) \omega_{X_1} \\ (J_C^{Y_1} + \sum J_{A_i}^y + \sum m_i l^2) \omega_{Y_1} \\ (J_C^{Z_1} + \sum J_{A_i}^z + \sum m_i l^2) \omega_{Z_1} + (\sum J_{A_i}^z + \sum m_i l^2) \omega_i \end{vmatrix} = \begin{vmatrix} J^{X_1} \omega_{X_1} \\ J^{Y_1} \omega_{Y_1} \\ J^{Z_1} \omega_{Z_1} + \sum J_i^z \omega_i \end{vmatrix} \quad (27)$$

где $J^{X_1} = J_C^{X_1} + \sum J_{A_i}^x + \sum m_i l^2$, $J^{Y_1} = J_C^{Y_1} + \sum J_{A_i}^y + \sum m_i l^2$, $J^{Z_1} = J_C^{Z_1} + \sum J_{A_i}^z + \sum m_i l^2$,

$\sum J_i^z = \sum J_{A_i}^z + \sum m_i l^2$ - приведенные осевые моменты инерции.

Теорема об изменении кинетического момента механической системы:

$$\frac{d\bar{L}}{dt} = \frac{dL}{dt} + (\bar{\omega}_C \times \bar{L}) = \sum \bar{M}_C^e \quad (28)$$

$$\frac{d\bar{L}}{dt} = \begin{vmatrix} J^{X_1} \dot{\omega}_{X_1} + \omega_{Y_1} \omega_{Z_1} (J_i^{Z_1} - J^{Y_1}) + \omega_{Y_1} \sum J_i^z \omega_i \\ J^{Y_1} \dot{\omega}_{Y_1} + \omega_{X_1} \omega_{Z_1} (J^{X_1} - J_i^{Z_1}) - \omega_{X_1} \sum J_i^z \omega_i \\ J^{Z_1} \dot{\omega}_{Z_1} + J_i^z \dot{\omega}_i + \omega_{X_1} \omega_{Y_1} (J^{Y_1} - J^{X_1}) \end{vmatrix} = \begin{vmatrix} M_{X_1}^e \\ M_{Y_1}^e \\ M_{Z_1}^e \end{vmatrix} \quad (29)$$

В результате на основании (16) и (29) получаем систему дифференциальных уравнений, описывающие движение квадрокоптера:

$$\begin{cases} m\ddot{X} = (\sin \psi \sin \varphi + \cos \psi \cos \varphi \sin \theta) \cdot \sum F_i \\ m\ddot{Y} = (\cos \varphi \sin \psi \sin \theta - \cos \psi \sin \varphi) \cdot \sum F_i \\ m\ddot{Z} = \cos \varphi \cos \theta \cdot \sum F_i \\ J^{X_1} \dot{\omega}_{X_1} + \omega_{Y_1} \omega_{Z_1} (J_i^{Z_1} - J^{Y_1}) + \omega_{Y_1} \sum J_i^z \omega_i = M_{X_1}^e \\ J^{Y_1} \dot{\omega}_{Y_1} + \omega_{X_1} \omega_{Z_1} (J^{X_1} - J_i^{Z_1}) - \omega_{X_1} \sum J_i^z \omega_i = M_{Y_1}^e \\ J^{Z_1} \dot{\omega}_{Z_1} + J_i^z \dot{\omega}_i + \omega_{X_1} \omega_{Y_1} (J^{Y_1} - J^{X_1}) = M_{Z_1}^e \end{cases} \quad (30)$$

Систему уравнений (30) необходимо решать совместно с кинематическими соотношениями, выражающие проекции угловой скорости тела

на оси связанной системы координат через угловые скорости углов крена, тангажа и рысканья:

$$\begin{cases} \omega_{X_1} = \dot{\varphi} + \psi \sin \theta \\ \omega_{Y_1} = \dot{\psi} \cos \theta \cos \varphi + \dot{\theta} \sin \varphi \\ \omega_{Z_1} = \dot{\theta} \cos \varphi - \dot{\psi} \cos \theta \sin \varphi \end{cases} \quad (31)$$

Полученные системы уравнений (30), (31) необходимы для моделирования движения летающего робота.

Выводы. Предложена математическая модель квадрокоптера с учетом массогабаритных свойств четырёх электроприводов, снабженных редуктором. В дальнейшем планируется разрабо-

тать алгоритм численного решения нелинейных дифференциальных уравнений, описывающих движение квадрокоптера по заданной траектории при наличии режима стабилизации положения системы в пространстве по трем углам ψ , θ , φ . Также планируется создать адаптивный алгоритм, который заключается в использовании различных методик

стабилизации при различных режимах и условиях полёта. Решить задачу оптимального синтеза по

критерию быстродействия при перемещении квадрокоптера из одной точки в другую

Библиографический список

1. Емельянова, О.В., Попов, Н.И., Яцун, С.Ф. Моделирование движения квадроспирального летящего робота / О.В. Емельянова, Н.И. Попов, С.Ф. Яцун // Актуальные вопросы науки. Материалы VIII Международной научно-практической конференции – М.: Спутник+, 2013. - С.6-8.
2. Загордан, А.М. Элементарная теория вертолёт / А.М. Загордан. – М.: Военное издательство Министерства обороны Союза ССР, 1955.
3. Яцун, С.Ф., Емельянова, О.В., Попов, Н.И. Изучение движения квадрокоптера в вертикальной плоскости / С.Ф. Яцун, О.В. Емельянова, Н.И. Попов // Актуальные вопросы технических наук (II): материалы международной заоч. науч. конф. - Пермь: Меркурий, 2013. - С.66-69.
4. Bresciani, T. Modeling, identification and control of a quadrotor helicopter. Master's thesis, Department of Automatic control, Lund University, October 2008, p.170.
5. Tahar, M., Zemalache, K.M., Omari, A. Control of under-actuated X4-flyer using integral Backstepping controller. Przegląd elektrotechniczny (Electrical review), ISSN 0033-2097, R.87 NR 10/2011, pages 251-256.
6. Hoffmann F., Goddemeier N., Bertram T. Attitude estimation and control of a quadcopter/ The 2010 IEEE/RSJ International Conference on Intelligent Robots and Systems, Taipei, Taiwan. October 2010, pages 1072-1077.
7. Tommaso, Bresciani. Modelling, Identification and Control of a Quadrotor Helicopter (Modelling, identifying och reglering av en quadrotor helikopter). Department of Automatic Control Lund University October 2008.

References

1. Emelyanova O.V., Popov N.I., Yatsun S.F. Modelirovanie dvizheniya kvadrorotatsionnogo letayu-shego robota / O.V. Emelyanova, N.I. Popov, S.F. Yatsun // Aktualnyie voprosyi nauki. Materialyi VIII Mezhdunarodnoy nauchno-prakticheskoy konferentsii – M.: Sputnik , 2013. - S.6-8.
2. Zagordan A.M. Elementarnaya teoriya vertolYota / A.M. Zagordan. – M.: Voennoe izdatelstvo Ministerstva oboronyi Soyuz SSR, 1955.
3. Yatsun S.F., Emelyanova O.V., Popov N.I. Izuchenie dvizheniya kvadrokoptera v vertikalnoy ploskosti / S.F. Yatsun, O.V. Emelyanova, N.I. Popov // Aktualnyie voprosyi tehnikeskikh nauk (II): materialyi mezhdunarodnoy zaoch. nauch. konf. - Perm: Merkuriy, 2013. - S.66-69.
4. Bresciani T. Modeling, identification and control of a quadrotor helicopter. Master's thesis, Department of Automatic control, Lund University, October 2008, p.170.
5. Tahar M., Zemalache K.M., Omari A. Control of under-actuated X4-flyer using indegreal Backstepping controller. Przegląd elektrotechniczny (Electrical review), ISSN 0033-2097, R.87 NR 10/2011, pages 251-256.
6. Hoffmann F., Goddemeier N., Bertram T. Attitude estimation and control of a quadcopter/ The 2010 IEEE/RSJ International Conference on Intelligent Robots and Systems, Taipei, Taiwan. October 2010, pages 1072-1077.
7. Tommaso Bresciani. Modelling, Identification and Control of a Quadrotor Helicopter (Modelling, identifying och reglering av en quadrotor helikopter). Department of Automatic Control Lund University October 2008.

MODELLING OF DYNAMICS OF FLIGHT OF A QUADROTOR HELICOPTER

Popov N.I., Ph. D. in Engineering,
Voronezh Institute of State Fire Service of EMERCOM of Russia;
Russia, Voronezh
Emelianova O.V., South-West state university,
teormeh@inbox.ru;
Jatsun S.F. D. Sc. in Engineering,
South-West state university,
teormeh@inbox.ru.

In work questions of mathematical modeling of movement of a quadrotor helicopter are considered, his settlement scheme is provided and the differential equations on the basis of the general theorems of dynamics are worked out.

Keywords: modelling, identification and control of a quadrotor helicopter